

ОТРАЖЕНИЕ И ПРЕЛОМЛЕНИЕ ОБЪЕМНЫХ АКУСТИЧЕСКИХ ВОЛН В ПЬЕЗОЭЛЕКТРИКАХ ПРИ ВОЗДЕЙСТВИИ ОДНООСНОГО НАПРЯЖЕНИЯ

© 2009 г. С. И. Бурков, Б. П. Сорокин, К. С. Александров*, А. А. Карпович

Сибирский федеральный университет

660049 Красноярск, пр. Свободный 79

E-mail: burkov@lan.krasu.ru

*Институт физики им. Л.В. Киренского СО РАН

660036 Красноярск, Академгородок

Поступила в редакцию 18.06.08 г.

Приведены основные уравнения, описывающие условия отражения и преломления объемных акустических волн на границе раздела ацентричных кристаллических сред, подвергнутых воздействию одноосного механического напряжения. Выполнен численный анализ влияния одноосного механического напряжения на анизотропию отражения-преломления объемных акустических волн от границ раздела “кристалл–вакуум”, двух пьезоэлектрических кристаллов, пьезоэлектрика и упругой изотропной среды.

PACS: 43.20.Ef; 77.65.-j

ВВЕДЕНИЕ

Теория отражения и преломления объемных акустических волн (ОАВ) на границе раздела двух кристаллических сред детально рассмотрена в работах [1, 2], результаты которых были использованы для создания ряда устройств акустоэлектроники, в частности, линий задержки сигнала. Влияние однородного внешнего электрического поля на характеристики и условия отражения и преломления ОАВ на границе раздела пьезоэлектрических кристаллов рассмотрено в [3, 4] на основе теории распространения ОАВ в пьезокристаллах, подвергнутых воздействию внешнего электрического поля и механического напряжения [5]. Также в [6] рассмотрено влияние внешнего электрического поля \mathbf{E} и одноосного механического напряжения \mathbf{P} на распространение поверхностных акустических волн (ПАВ) в пьезоэлектрических кристаллах.

ТЕОРИЯ ОТРАЖЕНИЯ И ПРЕЛОМЛЕНИЯ ОБЪЕМНЫХ УПРУГИХ ВОЛН НА ГРАНИЦЕ РАЗДЕЛА ДВУХ ПЬЕЗОЭЛЕКТРИЧЕСКИХ КРИСТАЛЛОВ ПРИ ВОЗДЕЙСТВИИ ОДНООСНОГО НАПРЯЖЕНИЯ

На основе теории, развитой в [5], получим основные уравнения, описывающие влияние \mathbf{P} на условия отражения и преломления ОАВ на границе раздела двух пьезоэлектрических сред. В исходной системе координат волновые уравнения для волн малой амплитуды в однородно деформи-

рованных ацентричных средах и уравнение электростатики имеют вид [4]:

$$\begin{aligned} \rho_0 \ddot{U}_A &= \tilde{\tau}_{AB,B} + \tilde{U}_{A,FB} \tilde{\tau}_{FB}, \\ \tilde{D}_{M,M} &= 0. \end{aligned} \quad (1)$$

В (1) приняты обозначения: ρ_0 — плотность кристалла в недеформированном (исходном) состоянии, \tilde{U}_A — вектор динамических упругих смещений, τ_{AB} — тензор термодинамических напряжений, D_M — вектор электрической индукции, $\tilde{\tau}_{FB} = -\tilde{\tau}_F P_B$ — статический тензор одноосного напряжения (отрицательный знак соответствует сжатию), P_B — единичный вектор направления силы давления. Знаком “тильда” здесь и далее отмечены зависящие от времени переменные. Запятая после индекса обозначает пространственную производную, латинские координатные индексы изменяются от 1 до 3. Здесь и далее подразумевается суммирование по дважды повторяющемуся индексу.

В случае, когда учитывается влияние \mathbf{P} , уравнения состояния для динамических компонент термодинамических напряжений и электрической индукции имеют вид, соответственно:

$$\begin{aligned} \tilde{\tau}_{AB} &= C_{ABCD}^* \tilde{\eta}_{CD} - e_{NAB}^* \tilde{E}_N, \\ \tilde{D}_N &= e_{NAB}^* \tilde{\eta}_{AB} + \epsilon_{NM}^* \tilde{E}_M, \end{aligned} \quad (2)$$

где η_{AB} — тензор деформаций, а эффективные упругие, пьезоэлектрические и диэлектрические константы определяются соотношениями:

$$\begin{aligned} C_{ABKL}^* &= C_{ABKL}^E - C_{ABKQLR}^E S_{QRMN}^E P_M P_N \bar{\tau}, \\ e_{NAB}^* &= e_{NAB} - e_{NABKL} S_{KLMD}^E P_M P_D \bar{\tau}, \\ \varepsilon_{NM}^* &= \varepsilon_{NM}^\eta - H_{NMAB} S_{ABKL}^E P_K P_L \bar{\tau}. \end{aligned} \quad (3)$$

Здесь $\bar{\tau}$ — величина статического механического напряжения, S_{ABKL}^E — тензор упругих податливостей, C_{ABKQLR}^E , e_{NABKL} , H_{NMAB} — нелинейные упругие, пьезоэлектрические и электрострикционные материальные тензоры.

Для рассмотрения задачи об отражении и преломлении ОАВ от границы раздела двух ацентричных сред целесообразно использовать в качестве рабочей ортогональную систему координат, в которой ось X_3' направлена вдоль нормали к границе раздела, а ось X_1' — вдоль границы раздела. Предполагается, что упругая волна падает на границу раздела из кристалла, занимающего полупространство $X_3' < 0$. Решения волнового уравнения будем искать в виде плоских волн. При рассмотрении условий отражения и преломления волн удобно пользоваться выражениями для плоской упругой гармонической волны и волны электрического потенциала, записанными с помощью векторов рефракции $\mathbf{m} = \mathbf{N}/v$ (\mathbf{N} — единичный вектор волновой нормали, v — фазовая скорость ОАВ):

$$\begin{aligned} U_C &= \alpha_C \exp[i\omega(t - m_j x_j)], \\ \varphi &= \alpha_4 \exp[i\omega(t - m_j x_j)], \end{aligned} \quad (4)$$

где α_C , α_4 — амплитуды упругих смещений и электрического потенциала объемной волны.

Подставляя выражения (4) в уравнения (1) и оставляя только члены, линейные по \mathbf{P} , получим систему четырех однородных уравнений:

$$[\Gamma_{BC} - \delta_{BC} P_0] \tilde{U}_B = 0, \quad (5)$$

где δ_{BC} — тензор Кронекера, а компоненты модифицированного тензора Грина-Кристоффеля Γ_{BC} имеют вид:

$$\begin{aligned} \Gamma_{BC} &= (C_{ABCD}^* + (2C_{MBFN}^E S_{ADCF}^E + \\ &+ \delta_{BC} \delta_{AM} \delta_{DN}) P_M P_N \bar{\tau}) m_A m_D, \\ \Gamma_{B4} &= e_{IAB}^* m_I m_A, \\ \Gamma_{4B} &= \Gamma_{B4} + 2e_{AFD} S_{MNCF}^E P_M P_N m_A m_D \bar{\tau}, \\ \Gamma_{44} &= -\varepsilon_{MI}^* m_M m_I. \end{aligned} \quad (6)$$

Определитель системы четырех однородных уравнений (5) представляет собой полином восьмой степени относительно компоненты вектора рефракции m_3 для каждой контактирующей среды, как для отраженных, так и для преломленных объемных акустических волн при заданном направлении падающей волны. В общем случае компоненты m_3 отраженных и преломленных волн могут быть комплексными вследствие эффекта полного внутреннего отражения [2]. При этом для кристалла, занимающего нижнее полупространство $X_3' < 0$ (отраженные волны), они должны иметь отрицательную мнимую часть, и положительную мнимую часть — для кристалла в верхнем полупространстве $X_3' > 0$ (преломленные волны). Благодаря этому будет обеспечено затухание отраженных или преломленных волн в глубину соответствующих сред.

Получение значений векторов рефракции \mathbf{m} позволяет получить значения углов отражения и преломления ОАВ и соответствующих фазовых скоростей. Важными параметрами являются также амплитудные коэффициенты отраженных и преломленных волн, которые характеризуют распределение энергии падающей волны между отраженными и преломленными ОАВ. Для определения данных коэффициентов необходимо сформулировать граничные условия отражения и преломления ОАВ. В случае жесткого акустического контакта двух кристаллов граничные условия для тензора термодинамических напряжений сводятся к непрерывности нормальных компонент тензоров напряжений отраженных или преломленных ОАВ и к непрерывности векторов смещения волн [2]. С учетом пьезоэлектрических свойств кристалла необходимо также сформулировать граничные условия для волны потенциала. Непрерывность касательных к поверхности раздела компонент вектора напряженности электрического поля \mathbf{E} обеспечивается условием непрерывности электрического потенциала φ , а также условием непрерывности нормальных компонент вектора индукции \mathbf{D} . Таким образом, упругие и электрические граничные условия в квазистатическом пределе имеют вид:

$$\begin{aligned} \tau_{ik}^{[I]} n_k &= \tau_{ik}^{[II]} n_k, \\ \mathbf{U}^{[I]} &= \mathbf{U}^{[II]}, \\ \varphi^{[I]} &= \varphi^{[II]}, \\ (\mathbf{D}^{[I]}, \mathbf{n}) &= (\mathbf{D}^{[II]}, \mathbf{n}). \end{aligned} \quad (7)$$

где n_k — единичный вектор нормали к границе раздела. В соотношениях (7) и далее верхний индекс "I" относится к кристаллу, занимающему полупространство $X_3' > 0$, индекс "II" — к полупро-

странству $X_3' < 0$. Подставляя решения (3) в уравнения (7) и оставляя только члены, линейные по \mathbf{P} , получим в конечном виде систему линейных уравнений относительно восьми амплитудных коэффициентов отраженных и преломленных волн:

$$\sum_{n=1}^4 (b_n G_B^{(n)[I]} - a_n G_B^{(n)[II]}) = \hat{G}_B^{(n)[III]},$$

$$\sum_{n=1}^4 (U_B^{(n)[I]} b_n - U_B^{(n)[II]} a_n) = \hat{U}_B^{(n)[III]}, \quad (8)$$

$$\sum_{n=1}^4 (b_n D_3^{(n)[I]} - a_n D_3^{(n)[II]}) = \hat{D}_3^{(n)[III]},$$

где a_n — амплитудные коэффициенты отражения, b_n — амплитудные коэффициенты преломления, знаком “^” отмечены величины, соответствующие падающей волне, а также приняты обозначения:

$$G_B^{(n)[I, II]} = (C_{B3KL}^{*[I, II]} \delta_{KP} - 2S_{KPMN}^{[I, II]} C_{3BKL}^{[I, II]} P_M P_N \bar{\tau}) \times$$

$$\times m_L^{(n)} \alpha_P^{(n)} - e_{P3B}^{*[I, II]} m_P^{(n)} \alpha_4^{(n)} + m_P^{(n)} \alpha_B^{(n)} P_3 P_P \bar{\tau},$$

$$D_3^{(n)[I, II]} = (e_{3AB}^{*[I, II]} + 2S_{ABKP}^{[I, II]} e_{3AB}^{[I, II]} P_F P_P \bar{\tau}) \times$$

$$\times m_B^{(n)} \alpha_A^{(n)} - \varepsilon_{3K}^{*[I, II]} m_K^{(n)} \alpha_4^{(n)}, \quad (9)$$

$$\hat{G}_B^{[III]} = (C_{B3KL}^{*[III]} \delta_{KP} - 2S_{KPMN}^{[III]} C_{3BKL}^{[III]} P_M P_N \bar{\tau}) \hat{m}_L \hat{\alpha}_P -$$

$$- e_{P3B}^{*[III]} \hat{m}_P \hat{\alpha}_4 + \hat{m}_P \hat{\alpha}_B P_3 P_P \bar{\tau},$$

$$\hat{D}_3^{[III]} = (e_{3AB}^{*[III]} + 2S_{ABKP}^{[III]} e_{3AB}^{[III]} P_F P_P \bar{\tau}) \times$$

$$\times \hat{m}_B \hat{\alpha}_A - \varepsilon_{3K}^{*[III]} \hat{m}_K \hat{\alpha}_4.$$

В соотношениях (8) и (9) и далее индексами $n = 1, \dots, 4$ обозначены типы (продольные (1) или поперечные (2, 3)) отраженных и преломленных упругих волн, и $n = 4$ соответствует волне электрического потенциала.

Рассматривая только отражение волны от границы раздела “кристалл-вакуум”, необходимо изменить граничные условия. В этом случае для механических величин должны отсутствовать напряжения на поверхности кристалла, т.е. $\sum \tau_{3j} = 0|_{X_3=0}$. Однако в случае приложения напряжений ортогонально свободной поверхности должны быть приняты во внимание упругие свойства нагружающей среды. Тем не менее, если гипотетически предположить, что одноосное напряжение в данной геометрии осуществляется без жесткого упругого контакта со свободной поверхно-

стью, для этого случая механические граничные условия могут быть записаны в виде $\tilde{\tau}_{3j} + \tilde{U}_{j,K} \tilde{\tau}_{3K} = 0|_{X_3=0}$. Для электрических величин граничными условиями являются непрерывность нормальной компоненты электрической индукции на границе раздела “кристалл-вакуум” и выполнение уравнения Лапласа для волны потенциала в вакууме. Например, система линейных уравнений для определения четырех амплитудных коэффициентов отражения будет иметь вид:

$$\sum_{n=1}^3 -a_n \{ (C_{B3KL}^{*[2]} \delta_{KP} - 2S_{KPMN}^{[2]} C_{3BKL}^{[2]} P_M P_N \bar{\tau}) m_L^{(n)} \alpha_P^{(n)} +$$

$$+ m_P^{(n)} \alpha_B^{(n)} P_3 P_P \bar{\tau} \} + a_4 e_{P3B}^{*[2]} m_P^{(4)} \alpha_4^{(4)} = \quad (10)$$

$$= (C_{B3KL}^{*[2]} \delta_{KP} - 2S_{KPMN}^{[2]} C_{3BKL}^{[2]} P_M P_N \bar{\tau}) \tilde{m}_L \tilde{\alpha}_P +$$

$$+ \tilde{m}_P \tilde{\alpha}_B P_3 P_P \bar{\tau} - a_4 e_{P3B}^{*[2]} \tilde{m}_P \tilde{\alpha}_4,$$

$$\sum_{n=1}^3 a_n \{ (e_{3AB}^{*[2]} + 2S_{ABKP}^{[2]} e_{3AB}^{[2]} P_F P_P \bar{\tau}) m_B^{(n)} \alpha_A^{(n)} \} -$$

$$- a_4 (\varepsilon_{3K}^{*[2]} m_K^{(4)} - i\varepsilon_0) \alpha_4^{(4)} = \quad (11)$$

$$= (e_{3AB}^{*[2]} + 2S_{ABKP}^{[2]} e_{3AB}^{[2]} P_F P_P \bar{\tau}) \tilde{m}_B \tilde{\alpha}_A - \varepsilon_{3K}^{*[2]} \tilde{m}_K \tilde{\alpha}_4,$$

где ε_0 — диэлектрическая постоянная. Отметим, что приведенные выражения для граничных условий получены из предположения о приложении к кристаллу однородного одноосного внешнего механического напряжения без учета краевых эффектов. В полученных уравнениях учитываются все изменения в конфигурации анизотропной сплошной среды, связанные с ее статической деформацией, и в частности, изменения формы кристалла — растяжения и поворот элементарных линий, параллельных ребрам образца [5, 7].

РАСЧЕТ ВЛИЯНИЯ НАПРЯЖЕНИЯ НА ОТРАЖЕНИЕ И ПРЕЛОМЛЕНИЕ АКУСТИЧЕСКИХ ВОЛН НА СВОБОДНОЙ ГРАНИЦЕ ПЬЕЗОКРИСТАЛЛА

Для сравнения влияний внешних воздействий на свойства отражения ОАВ в качестве примера рассмотрим влияние внешнего одноосного механического давления на отражение волн от свободной границы кубического пьезоэлектрика симметрии 23 по аналогии с влиянием однородного электрического поля [3]. Пусть волна падает в плоскости (010) (сагиттальная плоскость), и нормаль к границе раздела направлена вдоль направления [001]. Дисперсионное уравнение для отраженных волн (при отсутствии давления) в случае падения на границу раздела продольной

(L) или быстрой сдвиговой (FS) волн запишется в виде:

$$(C_{11}^E m_1^2 + C_{44}^E m_3^2 - \rho_0)(C_{44}^E m_1^2 + C_{11}^E m_3^2 - \rho_0) - (C_{12}^E + C_{44}^E)^2 m_1^2 m_3^2 = 0. \quad (12)$$

Для случая падения на границу раздела медленной сдвиговой волны (SS), которая в данной сагиттальной плоскости является пьезоактивной с поляризацией вдоль [010], т.е. ортогонально плоскости падения, дисперсионное уравнение имеет вид:

$$(C_{44}^E (m_1^2 + m_3^2) - \rho_0) \varepsilon_{11}^n (m_1^2 + m_3^2) - 4e_{14}^2 m_1^2 m_3^2 = 0. \quad (13)$$

Следовательно, в случае падения продольной или быстрой сдвиговой волны (поляризованной в плоскости падения) отражаться будут также только продольные (квазипродольные QL) и быстрые

сдвиговые (быстрые квазисдвиговые QFS) волны. В случае падения медленной сдвиговой волны (QSS) отражается только QSS-волна, амплитудный коэффициент которой практически равен единице. Однако вследствие пьезоактивности данной волны, наряду с упругой QSS-волной, существует и волна потенциала. Поэтому, хотя вектор рефракции отраженной QSS-волны вещественен, амплитудный коэффициент для нее будет комплексным, его мнимая часть характеризует сдвиг фаз между падающей и отраженной волнами.

Приложение к кристаллу одноосного давления вдоль направления [100], согласно принципу Кюри, понижает симметрию кристалла до ромбической класса 222, в отличие от приложения к кристаллу электрического поля, которое понижает симметрию кристалла до моноклинной класса 2. Вследствие этого происходит только модификация уже имеющихся материальных постоянных, в частности:

$$\begin{aligned} C_{11}^* &= C_{11}^E + [C_{111} S_{11} + S_{12}(C_{112} + C_{113})] \bar{\tau}; & e_{14}^* &= e_{14} + [e_{114} S_{11} + S_{12}(e_{124} + e_{134})] \bar{\tau}; \\ C_{33}^* &= C_{11}^E + [C_{112} S_{11} + S_{12}(C_{113} + C_{111})] \bar{\tau}; & e_{25}^* &= e_{14} + [e_{134} S_{11} + S_{12}(e_{114} + e_{124})] \bar{\tau}; \\ C_{22}^* &= C_{11}^E + [C_{113} S_{11} + S_{12}(C_{111} + C_{112})] \bar{\tau}; & e_{36}^* &= e_{14} + [e_{124} S_{11} + S_{12}(e_{134} + e_{114})] \bar{\tau}; \\ C_{12}^* &= C_{12}^E + [C_{112} S_{11} + S_{12}(C_{113} + C_{123})] \bar{\tau}; & \varepsilon_{11}^* &= \varepsilon_{11}^n + [H_{11} S_{11} + S_{12}(H_{12} + H_{13})] \bar{\tau}; \\ C_{13}^* &= C_{12}^E + [C_{113} S_{11} + S_{12}(C_{123} + C_{112})] \bar{\tau}; & \varepsilon_{22}^* &= \varepsilon_{11}^n + [H_{11} S_{11} + S_{12}(H_{21} + H_{23})] \bar{\tau}; \\ C_{23}^* &= C_{12}^E + [C_{123} S_{11} + S_{12}(C_{112} + C_{113})] \bar{\tau}; & \varepsilon_{33}^* &= \varepsilon_{11}^n + [H_{11} S_{11} + S_{12}(H_{31} + H_{32})] \bar{\tau}; \\ C_{44}^* &= C_{44}^E + [C_{144} S_{11} + S_{12}(C_{166} + C_{155})] \bar{\tau}; \\ C_{55}^* &= C_{44}^E + [C_{155} S_{11} + S_{12}(C_{144} + C_{166})] \bar{\tau}; \\ C_{66}^* &= C_{44}^E + [C_{166} S_{11} + S_{12}(C_{155} + C_{144})] \bar{\tau}; \end{aligned} \quad (14)$$

В данном случае, изменениям подвергаются только существующие компоненты тензора Грина-Кристоффеля (6) для сагиттальной плоскости (010). Дисперсионное уравнение (12) для отраженных волн (при приложении к кристаллу одноосного давления вдоль направления [100]), в случае падения на границу раздела продольной (QL) или сдвиговой (QFS), поляризованной в сагиттальной плоскости волн, запишется в виде:

$$\begin{aligned} & [C_{11}^* m_1^2 + C_{44}^* m_3^2 + 2S_{11}(C_{11}^E m_1^2 + C_{44}^E m_3^2) \bar{\tau} + m_1^2 \bar{\tau} - \rho_0] \times \\ & \times [(C_{44}^* m_1^2 + C_{33}^* m_3^2 + (2S_{12}(C_{44}^E m_1^2 + C_{11}^E m_3^2) \bar{\tau} - \rho_0))] - \\ & - [C_{13}^* + C_{55}^* + (2C_{12}^E S_{12} + 2C_{12}^E S_{12} + 1) \bar{\tau}] \times \\ & \times [C_{13}^* + C_{35}^* + (2C_{12}^E S_{11} + 2C_{44}^E S_{12}) \bar{\tau}] m_1^2 m_3^2 = 0. \end{aligned} \quad (15)$$

Аналогично, дисперсионное уравнение (13) при падении на границу раздела сдвиговой волны (QSS), поляризованной ортогонально плоскости падения, т.е. вдоль направления [010], имеет вид:

$$\begin{aligned} & [C_{66}^* m_1^2 + C_{44}^* m_3^2 + 4C_{66}^E S_{12}(m_1^2 + m_3^2) \bar{\tau} - \rho_0] \times \\ & \times (\varepsilon_{11}^* m_1^2 + \varepsilon_{33}^* m_3^2) - \\ & - (e_{14}^* + e_{36}^*) [e_{14}^* + e_{36}^* + 2e_{14}(S_{11} + S_{12}) \bar{\tau}] m_1^2 m_3^2 = 0. \end{aligned} \quad (16)$$

Отметим, что именно члены в уравнениях (15), (16), связанные с воздействием внешнего одноосного давления, характеризуют все изменения в конфигурации анизотропной сплошной среды, связанной со статической деформацией среды. Заметим, что эффекты, связанные с изменением геометрии кристалла и учтенные в выражениях (2)–(6), приводят к нарушению симметрии тензора Грина-Кристоффеля.

Приложение к кристаллу одноосного давления вдоль направления $[100]$ приводит к снятию вырождения касательного типа с индексом Пуанкаре ± 1 вдоль кристаллографических осей типа $[001]$ [8, 9]. Акустическая ось расщепляется на две конического типа с индексом Пуанкаре $\pm 1/2$, причем, в отличие от влияния внешнего электрического поля, в котором расщепление акустической оси происходит в плоскости (110) , данное давление вызывает расщепление в плоскости (001) . Вследствие расщепления акустической оси при падении продольной волны в интервале между наведенными акустическими осями отражается медленная сдвиговая QSS-волна, т.е. в растворе конуса наведенных акустических осей происходит "обмен" сдвиговых упругих волн. Данная ситуация более ярко выражена в плоскости (110) при приложении к кристаллу давления вдоль направления $[110]$, т.е. вдоль границы раздела. В плоскости (110) существует две акустические оси: касательная (вдоль $[001]$), которая расщепляется на две, и конического типа (вдоль $[111]$), которая смещается вследствие воздействия P . Расщепление, конечно, зависит от величины воздействия $[10]$, однако следует отметить, что угол раствора конуса наведенных акустических осей составляет $\pm 8.5^\circ$, обмен сдвиговых упругих волн происходит в интервале $\pm 20^\circ$ углов между волновым вектором падающей упругой волны и нормалью к границе раздела сред. Величина воздействия в расчетах данной работы принята равной 10^8 Па. Таким образом, здесь влияние одноосного напряжения сводится к количественным изменениям амплитудных коэффициентов отраженных волн.

При других вариантах приложения P к кристаллу и типах падающей упругой волны вследствие (14) происходит только количественное изменение амплитудных характеристик отраженных упругих волн.

РАСЧЕТ ВЛИЯНИЯ ДАВЛЕНИЯ НА ОТРАЖЕНИЕ И ПРЕЛОМЛЕНИЕ АКУСТИЧЕСКИХ ВОЛН НА ГРАНИЦЕ РАЗДЕЛА ИЗОТРОПНАЯ СРЕДА-ПЬЕЗОЭЛЕКТРИК

На рис. 1 приведены действительные части амплитудных коэффициентов отражения и преломления волн при акустическом контакте двух сред плавный кварц-германосилленит $Bi_{12}GeO_{20}$ (плоскость $(\bar{1}10)$) при воздействии P вдоль направления $[110]$, лежащего в плоскости раздела. В случае отсутствия давления при падении продольной или сдвиговой волны, поляризованной в сагиттальной плоскости, существуют только отраженные и преломленные продольная и быстрая сдвиговая (поляризована в плоскости падения)

волны. При падении сдвиговой волны, поляризованной ортогонально сагиттальной плоскости, отражается волна такого же типа, но из преломленных существует только медленная сдвиговая волна, что уже отмечалось в [3].

Приложение одноосного механического напряжения $P \parallel [110]$ к кристаллу $Bi_{12}GeO_{20}$ приводит к понижению симметрии кристалла до моноклинной и, вследствие этого, при падении продольной или сдвиговой волны (поляризованной в сагиттальной плоскости), происходит количественное изменение значений амплитудных коэффициентов. Однако при падении сдвиговой волны, поляризованной ортогонально плоскости падения, в плавном кварце возникают как бы две отраженных сдвиговых волны, поляризованных в плоскости падения и ортогонально к ней. Естественно, что в изотропной среде существует только одна сдвиговая волна, но изменение граничных условий при приложении одноосного механического напряжения к кристаллу $Bi_{12}GeO_{20}$ приводит и к изменению направления вектора поляризации QSS-волны, который в данном случае направлен под некоторым углом к плоскости падения волны. Вследствие этого становится возможным существование отраженной сдвиговой волны, поляризованной также под углом к плоскости падения волны. Следует отметить, что при данном варианте приложения P , как уже описано выше, происходит расщепление акустической оси касательного типа вдоль оси $[001]$, причем "обмен решениями" сдвиговых волн происходит в интервале углов падения $\pm 35^\circ$ от нормали к границе раздела при падении продольной волны и $\pm 20^\circ$ при падении сдвиговой волны. Особенно это явление проявляется, если рассчитать гипотетический случай приложения одноосного напряжения вдоль направления падающей волны.

При падении сдвиговой волны под углом $\pm 40^\circ$ от нормали к границе раздела наблюдается явление полного внутреннего отражения для отраженной продольной волны. При падении продольной волны на границу раздела двух сред под углом $\pm 57^\circ$ происходит трансформация преломленных упругих волн и существует только преломленная быстрая сдвиговая волна. Учет одноосного механического давления приводит к смещению угла трансформации упругих волн на один градус — $\pm 58^\circ$. Подобная ситуация возникает при падении сдвиговой волны, поляризованной в плоскости падения. Трансформация упругих волн происходит под углом падения сдвиговой волны $\pm 32^\circ$ к нормали границы раздела двух сред.

Приложение давления перпендикулярно сагиттальной плоскости и вдоль нормали к границе раздела в указанной геометрии изменяет картину отражения и преломления сравнительно слабо и только в количественном отношении.

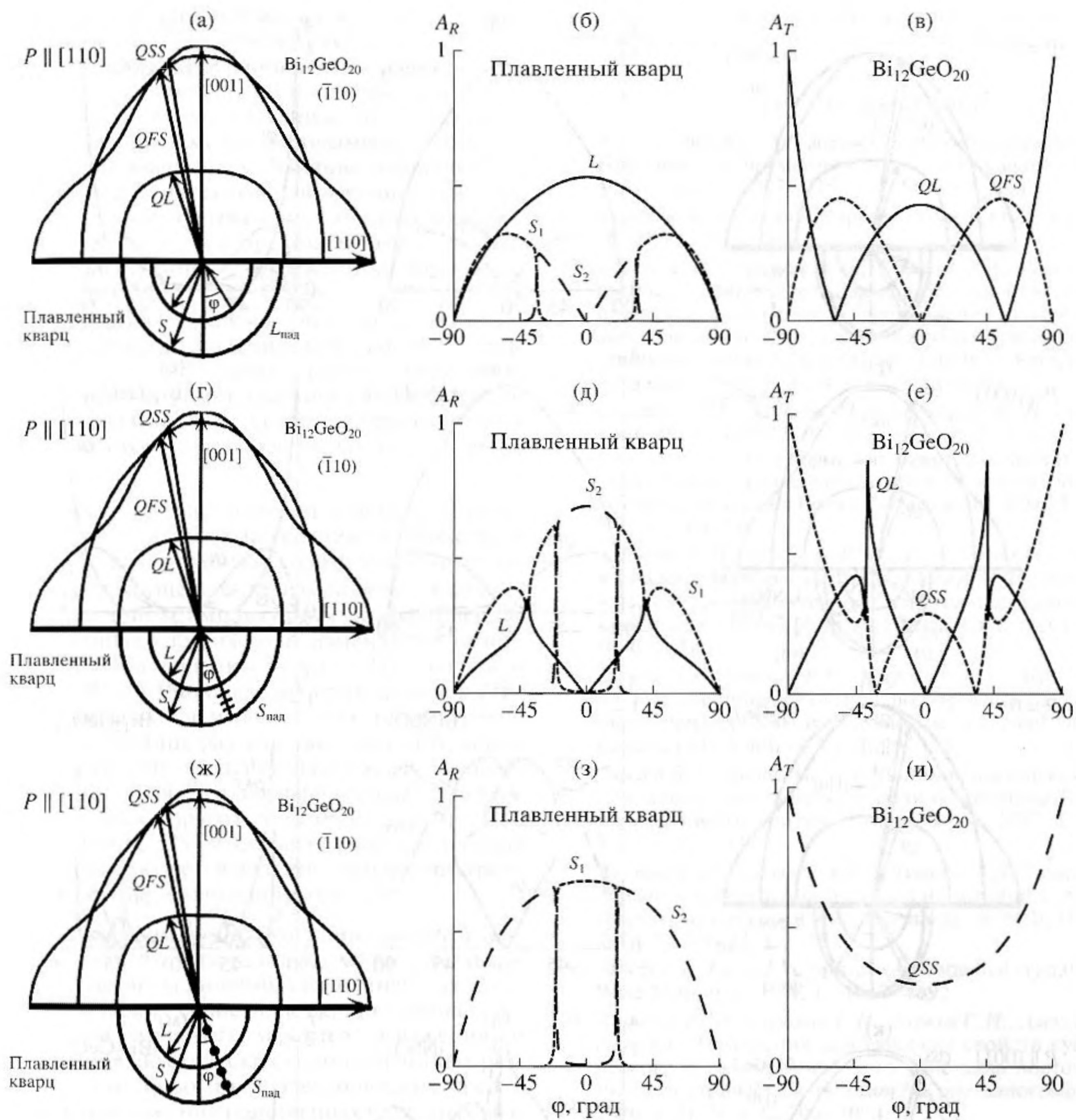


Рис. 1. Полости векторов рефракции (а) и амплитудные коэффициенты отражения (б) и преломления волн (в), от границы раздела плавленый кварц–германосилленит в плоскости (110) при падении волн из плавленого кварца при действии одноосного давления вдоль распространения падающей волны.

РАСЧЕТ ВЛИЯНИЯ ДАВЛЕНИЯ НА ОТРАЖЕНИЕ И ПРЕЛОМЛЕНИЕ АКУСТИЧЕСКИХ ВОЛН НА ГРАНИЦЕ РАЗДЕЛА ДВУХ ПЬЕЗОЭЛЕКТРИКОВ

На рис. 2 приведены действительные части амплитудных коэффициентов отражения и преломления волн при акустическом контакте двух сред ниобат лития LiNbO_3 (плоскость (010)) – германосилленит $\text{Bi}_{12}\text{GeO}_{20}$ ($\bar{1}10$) при приложении од-

ноосного давления вдоль [001], т.е. ортогонально границе раздела сред. При приложении $P \parallel [001]$ в кристалле германосилленита, как уже упоминалось выше, происходит снятие вырождения сдвиговых упругих волн, в то время как для кристалла ниобата лития данный вариант приложения давления, т.е. вдоль оси 3-го порядка, не изменяет исходную симметрию кристалла, и вырождение сдвиговых волн в данном случае сохраняется.

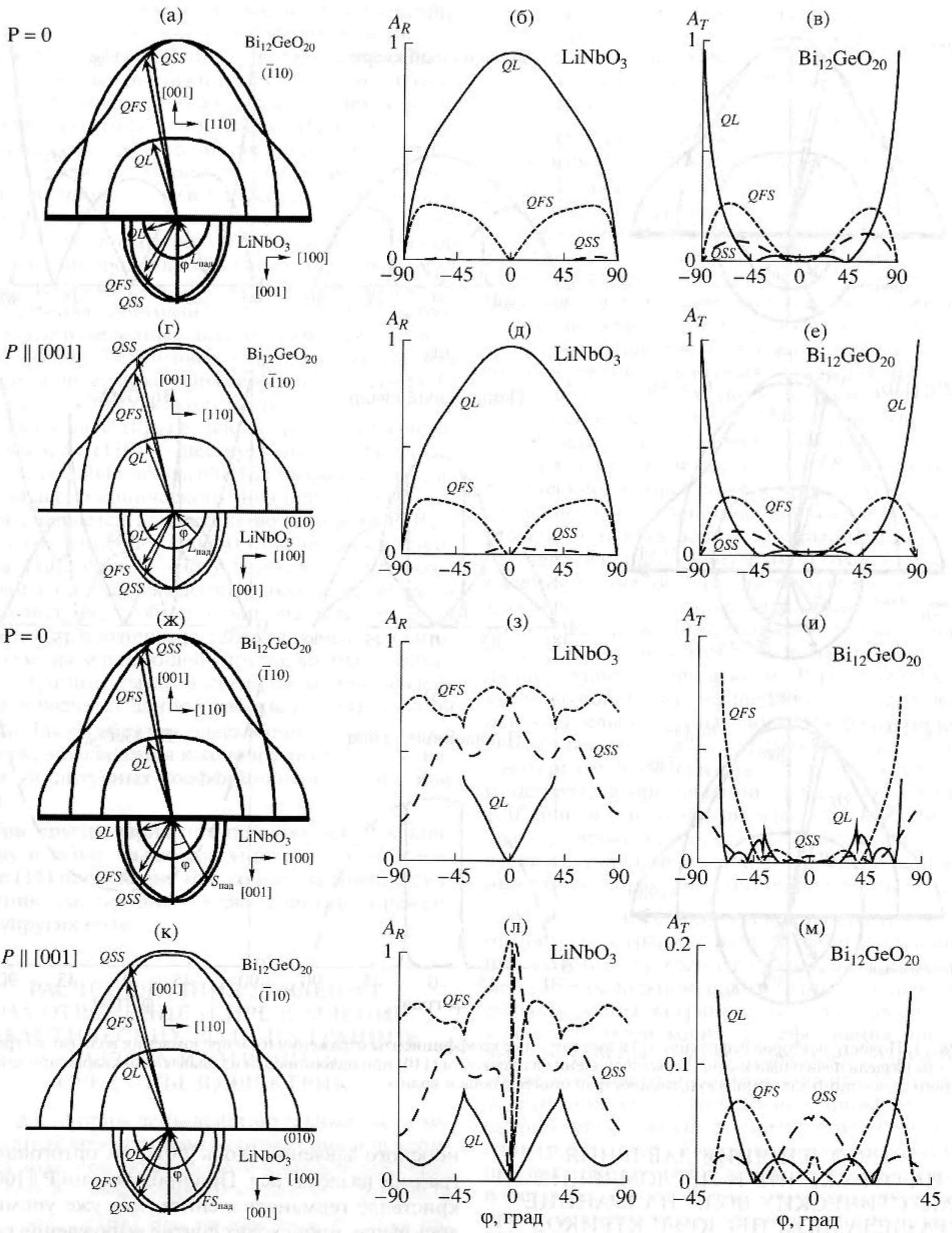


Рис. 2. Полости векторов рефракции и амплитудные коэффициенты отражения и преломления волн от границы раздела ниобат лития–германосилленит в плоскости (110) при падении волн из ниобата лития при действии одноосного давления вдоль $[001]$.

При падении упругой волны типа QL на границу раздела двух сред присутствуют все три типа отраженных и преломленных ОАВ, но доминирующим является амплитудный коэффициент отраженной квазипродольной волны, что объясняется большой разницей между фазовыми скоростями в исследуемых кристаллах. Влияние внешнего одноосного механического напряжения изменяет количественные значения амплитудных коэффициентов отраженных и преломленных волн, особенно существенно — отраженной медленной QSS-волны (рис. 2, г–е). Следует также отметить трансформацию преломленных упругих волн. При нормальном падении продольной волны преломляется естественно также продольная упругая, но под углом падения $\pm 40^\circ$ к нормали границы раздела двух сред, из преломленных волн существуют только квазисдвиговые упругие волны.

Однако в случае падения сдвиговых волн, вследствие снятия вырождения в кристалле $\text{Bi}_{12}\text{GeO}_{20}$, амплитудные коэффициенты отраженных волн существенно изменяются, в то время как величины амплитудных коэффициентов преломленных упругих волн изменяются незначительно. При падении упругой QFS-волны и действии $\mathbf{P} \parallel [001]$ происходит трансформация типа отраженных сдвиговых волн относительно нормали к границе раздела двух сред, в то время как в отсутствие воздействия доминирующими значениями являются коэффициенты отраженных сдвиговых упругих волн (рис. 2, к–м). Под углом падения $\pm 38^\circ$ к нормали границы раздела двух сред наблюдается явление полного внутреннего отражения продольной волны.

Таким образом, используя приведенные в данной работе и в [3] результаты, можно, если известны константы линейных и нелинейных электромеханических свойств, детально проанализировать анизотропный характер отражения и преломления акустических волн на границах раздела тех или иных пьезоэлектрических сред в условиях приложения однородных конечных воз-

действий. Полученные данные могут быть полезны для поиска практически важных эффектов.

СПИСОК ЛИТЕРАТУРЫ

1. Александров К.С. Акустическая кристаллография // Проблемы современной кристаллографии. М.: Наука, 1975. С. 327–345.
2. Федоров Ф.И. Теория упругих волн в кристаллах. М.: Наука, 1965. 388 с.
3. Бурков С.И., Сорокин Б.П., Глушков Д.А., Александров К.С. Теория и компьютерное моделирование процессов отражения и преломления объемных акустических волн в пьезоэлектриках при воздействии внешнего электрического поля // Кристаллография. 2005. Т. 50. № 6. С. 1053–1060.
4. Сорокин Б.П., Зайцева М.П., Кокорин Ю.И., Бурков С.И., Соболев Б.В., Четвергов Н.А. Анизотропия управления скоростью объемных акустических волн электрическим полем в пьезоэлектриках со структурой силленита // Акуст. журн. 1986. Т. 32. № 5. С. 664–666.
5. Зайцева М.П., Кокорин Ю.И., Сандлер Ю.М., Зражевский В.М., Сорокин Б.П., Сысоев А.М. Нелинейные электромеханические свойства ацентричных кристаллов. Новосибирск: Наука, Сиб. отд-ние, 1986. 177 с.
6. Burkov S.I., Sorokin B.P., Karpovich A.A., Aleksandrov K.S. The influence of static homogeneous fields on the properties of SAW in piezoelectric // Ferroelectrics Letters. 1992. V. 14. № 5/6. P. 99–113.
7. Зайцев Б.Д., Кузнецова И.Е. Влияние внешнего однородного электрического поля на свойства ПАВ Рэлея в ниобате лития // Акуст. журн. 1997. Т. 43. № 1. С. 116–118.
8. Альшиц В.И., Сарычев А.В., Шувалов А.Л. Классификация вырождения и анализ их устойчивости в теории упругих волн в кристаллах // ЖЭТФ. 1985. Т. 89. № 3(9). С. 922–938.
9. Alshits V.I., Lothe J. Acoustic axes in trigonal crystals // Wave Motion. 2006. V. 43. P. 177–192.
10. Кокорин Ю.И., Сорокин Б.П., Бурков С.И., Александров К.С. Изменения акустических свойств кубического пьезоэлектрического кристалла постоянным электрическим полем // Кристаллография. 1986. Т. 31. № 4. С. 706–709.